

电子偶素物理学

王少阶

(武汉大学物理系)

电子偶素(positronium),又称正电子素,其符号为Ps,是由电子及其反粒子——正电子组成的准束缚系统。自从Deutsch^[1]在1951年发现Ps以来的三十年间,人们已对Ps的特性及其与物质的相互作用进行了广泛的研究。这不仅加深了人们对Ps本身的了解,也导致了它在原子物理学、化学及固体物理学等领域中获得广泛应用。然而,由于Ps是一个二体、纯轻子的电磁束缚体系,因而是研究量子电动力学的理想对象。特别是近十余年,由于理论和实验两方面的进展,在测量基态Ps的超精细结构和衰变率,以及激发态Ps的探索方面均取得了引人注目的成就。此外,在用Ps研究弱相互作用、基本对称性以及天体物理等方面也引起了人们的广泛兴趣。本文将论述Ps物理学基础及Ps的形成和探测技术,并简要介绍Ps物理研究的最新进展。

一、Ps物理学基础

1932年,Anderson^[2]首次在宇宙线实验

中发现正电子。其后不久就有人提出存在Ps的可能性,并在实验发现Ps之前就进行了大量的理论工作,在有关Ps的能级、精细结构、湮没选择定则以及衰变率等方面得到许多基本结果。

1. 能级

Ps是一种类氢原子,与氢原子有许多相似之处。但这里没有质子,代替质子的是电子的反粒子——正电子。正电子与电子有相同的质量和自旋,而其电荷和磁矩则与电子大小相等,符号相反。它们都是轻子,因此这里没有强相互作用。Ps的能级可以象氢原子一样计算,只是Ps原子的约化质量为 $m/2$ (m 为电子质量),故Ps能级的能量为氢原子的一半,即

$$E_n(Ps) = -\frac{mc^4}{4n^2\hbar^2}, \quad (1)$$

式中 n 为主量子数, $\hbar = h/2\pi$, h 为普朗克常数, e 为电子电荷。

由能级公式可知,Ps的束缚能是6.8eV,而氢为13.6eV;Ps的Lyman- α 线是2430 Å,而氢为1215 Å。图1示出了主量子数 $n=1$

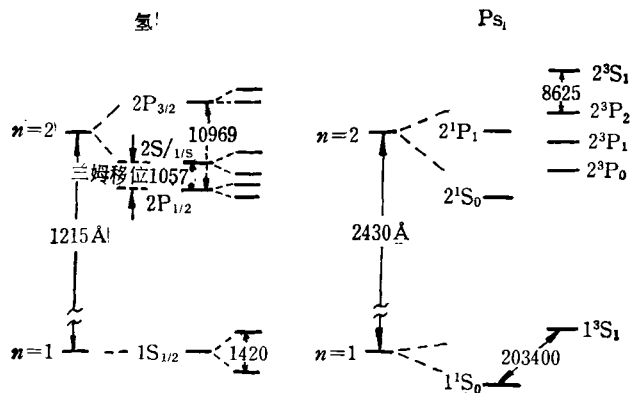


图1 氢与Ps的能级图($n=1, 2$) (能级单位: MHz)

和 $n = 2$ 的氢和 Ps 的能级, 以作对比。

Ps 是由一个电子和一个正电子组成, 通常用类似描写氯原子的方法描写 Ps 的状态。状态符号为 $n^{2s+1}L_J$, 这里 J, L, S 分别为总角动量、轨道角动量和自旋角动量, 且 $J = L + S$ 。

基态 Ps 的自旋由组成 Ps 的电子和正电子自旋的相对取向决定。若电子自旋与正电子自旋平行, 则 Ps 的总自旋为 1, 其状态符号为 1^3S_1 , 是自旋三重态, 称为正-电子偶素, 或简记为 $o\text{-Ps}$ 。若电子自旋与正电子自旋反平行, 则 Ps 的总自旋为 0, 其状态符号为 1^1S_0 , 是自旋单态, 称为仲-电子偶素, 或简记为 $p\text{-Ps}$ 。

由图 1 可见, Ps 与氢原子能级图的差别不仅是在比例上, 更重要的是在结构上。原因是: (1) 正电子的磁矩比质子磁矩大得多 ($\mu_{e^+} - \mu_{e^-} \approx 657 \mu_p$), 这就使 Ps 中的自旋-自旋相互作用可与自旋-轨道相互作用相比; (2) 粒子与反粒子的湮没相互作用也对 Ps 的精细结构有贡献, 而氢则无此效应。故氢的基态无精细结构劈裂, 而基态 Ps 则劈裂为单态和三重态。最早计算基态 Ps 精细结构劈裂的是 Pirenne^[3](1946), 在最低级近似下, 其值为

$$W_0 = E(1^3S_1) - E(1^1S_0) = \frac{7}{12} \alpha^4 m c^2, \quad (2)$$

式中 α 为精细结构常数, c 为光速。

2. 湮没选择定则

湮没选择定则是了解湮没过程的基础。 Ps 的湮没选择定则最初是由杨振宁^[4]等提出的。能量和动量守恒禁止自由 Ps 的单光子湮没。在一般情形下, 若 Ps 的轨道角动量为 l , 总自旋为 s , 且湮没时发出 n 个光子, 则湮没选择定则为

$$(-1)^{l+s} = (-1)^n. \quad (3)$$

这一结果是由 Ps 和 n 个光子态的电荷共轭特性得到的。因为 Ps 是电荷共轭算符 \hat{C} 的本征态, 其本征值为 $(-1)^{l+s}$, 而 n 个光子态也是 \hat{C} 算符的本征态, 本征值为 $(-1)^n$ 。 Ps 湮没为 n 个光子的过程属电磁相互作用, 此过程电荷共轭不变, 故可导出上述结果。

由此选择定则可知, 对基态 Ps ($l = 0$) 有:

1^3S_1 态 Ps 衰变为大于 1 的奇数个光子, 以 3γ 衰变几率最大; 1^1S_0 态 Ps 则衰变为偶数个光子, 其中 2γ 几率最大。衰变为 4γ 或 5γ 的几率则比 2γ 或 3γ 的几率低得多(约为 $\alpha^2 \sim 10^{-4}$)。

3. 湮没率

n^1S_0 态 Ps 的 2γ 湮没率也是 Pirenne 等最先计算的。在最低级近似下的结果为

$$\lambda(n^1S_0) = 4\sigma_{2\gamma} v |\psi_n(0)|^2,$$

式中 v 是电子与正电子的相对速度。当 $v \ll c$ 时, 自由正电子与电子的 2γ 湮没截面 $\sigma_{2\gamma} = \pi r_0^2(c/v)$, 这里 $r_0 = e^2/mc^2$ 是经典电子半径。而 $\psi_n(0)$ 是 n^1S_0 态 Ps 的波函数在原点处之值, 且 $|\psi_n(0)|^2 = 1/\pi(2na_0)^3$, 这里 $a_0 = \hbar^2/me^2$ 是 Ps 的玻尔半径。上式中 $\sigma_{2\gamma}$ 前的因子 4 是 2γ 湮没截面对自旋平均的结果。于是可将上式写为

$$\lambda(n^1S_0) = \frac{1}{2} \frac{mc^2\alpha^5}{\hbar n^3}. \quad (4)$$

当 $n = 1$ 时, $\lambda(1^1S_0) = 8 \times 10^9 \text{s}^{-1}$ 。相应的 2γ 湮没寿命为 $\tau_{2\gamma} = 1/\lambda(1^1S_0) = 1.25 \times 10^{-10} \text{s}$ 。

n^3S_1 态 Ps 的 3γ 衰变率是 Ore 和 Powell^[5]最先得到的, 其最低级近似值为

$$\lambda(n^3S_1) = \frac{2}{9\pi} (\pi^2 - 9) \frac{mc^2\alpha^6}{\hbar n^3}, \quad (5)$$

当 $n = 1$ 时, $\lambda(1^3S_1) \approx 7 \times 10^6 \text{s}^{-1}$ 。相应的 3γ 湮没寿命 $\tau_{3\gamma} = 1/\lambda(1^3S_1) = 1.40 \times 10^{-7} \text{s}$ 。

4. 湮没能谱

Ps 在自湮没时, 其质心动能与静止能 ($2mc^2$) 相比可以忽略。如基态 Ps 作 2γ 湮没时, 由能量与动量守恒可知, 两个光子在相反的方向(成 180° 角)上发射, 其能量均为 mc^2 。此外, 1^3S_1 态 Ps 湮没后发射三个光子, 由动量守恒可知, 三个光子必须共面, 且不得在一个半平面内。由能量守恒可知, 三个光子的总能量为 $2mc^2$, 每个光子的能量可在 0 到 mc^2 间取值。Ore 和 Powell^[5] 最先导出 1^3S_1 态 Ps 作 3γ 衰变时湮没光子的能谱为

$$F(k_1) = 2 \left\{ \frac{k_1(m - k_1)}{(2m - k_1)^2} - \frac{2m(m - k_1)^2}{(2m - k_1)^3} \right. \\ \left. \times \ln \frac{m - k_1}{m} + \frac{2m - k_1}{k_1} \right\}$$

$$+ \frac{2m(m-k_1)}{k_1^2} \ln \frac{m-k_1}{m} \}, \quad (6)$$

式中 k_1 为所研究的湮没光子动量，计算中取光速 $c = 1$ ，故 $F(k_1)$ 即为湮没光子的能谱。

二、Ps 的形成和探测

1. Ps 在气体中的形成

长期以来，Ps 的形成过程都是在气体中进行的。能量为几百 keV 的正电子从 β^+ 放射源(如 ^{22}Na , ^{58}Co , ^{64}Cu 等)发出后射入气体中，通过与气体原子或分子的非弹性碰撞而损失能量。在形成 Ps 之前，其能量已慢化至几个 eV。除一部分正电子直接从散射态湮没外，剩下的正电子只要能量合适，就可俘获气体原子或分子中的一个电子而形成 Ps。

设正电子动能为 T ，气体原子的电离能为 E_i ，Ps 的束缚能为 E_{ps} (6.8eV)，且气体原子的最低激发能为 E_{exc} 。若要形成 Ps，正电子的动能必须大于 $E_i - E_{ps}$ 且小于 E_i ，因为 $T > E_i$ 时形成的 Ps 其动能大于 E_{ps} ，这种 Ps 很容易在与气体原子或分子的碰撞中分解。此外，若 $T > E_{exc}$ ，则这种能量的正电子可使气体原子激发，于是非弹性碰撞过程将与 Ps 形成过程相互竞争。由此可知，形成 Ps 的能量范围是

$$\text{或 } \begin{aligned} E_{exc} &\geq T \geq E_i - E_{ps} \\ E_i &\geq T \geq E_i - E_{ps}, \end{aligned} \quad (7)$$

若认为正电子在最后一次电离碰撞后其动能分布大体是均匀的，则由上式可估计形成 Ps 的那部分正电子的比例 f :

$$\begin{aligned} [E_{exc} - (E_i - E_{ps})]/E_{exc} &\leq f \\ \leq [E_i - (E_i - E_{ps})]/E_i &= E_{ps}/E_i, \end{aligned} \quad (8)$$

在气体中 Ps 的形成和对 Ps 的研究还常常包括电场、磁场及射频场等。气体的容积约数升，入射正电子中有约 25—50% 能形成 Ps。至今，“自由” Ps 的形成过程及其研究工作都是在低密度气体中进行的。

2. 小粒度粉末中的 Ps 形成

Ps 也可在许多液体和绝缘固体中形成。在凝聚态物质中，正电子的热化时间约 10^{-12}s 。1968 年，Paulin 等^[6]发现，当从 β^+ 放射源发出的正电子入射到各种小粒度 (70—90 Å)、低密度 (0.5g/cm^3) 的 MgO , Al_2O_3 或 SiO_2 粉末中时，有多达 30% 的入射正电子形成 Ps。这样形成的 Ps 寿命谱中包括三个寿命分量： $\tau_1 \approx 0.4\text{ns}$ ，它相当于正电子的自由湮没和单态 Ps 的湮没； $\tau_2 \approx 2\text{ns}$ ，它是 Ps 原子与固体原子碰撞时，三重态 Ps 中的正电子与固体原子中一个具有相反自旋的电子以 2γ 形式湮没，这一过程大大缩短了三重态 Ps 的自湮没寿命；最长的寿命分量 τ_3 相应于三重态 Ps 的自湮没寿命，比理论计算值 140ns 仅小 1%。粉末中形成 Ps 所需体积仅 $1\text{--}10\text{cm}^3$ ，这使设备更紧凑，并大大提高了探测效率。

3. 慢正电子束的产生和 Ps 在固体表面的形成

近十余年来，一种具有可控制能量的、并有足够强度的慢正电子束已经发展起来。这种新的正电子源为 Ps 物理和表面物理的研究提供了强有力的工具。1968 年发现，当能量为数百 keV 的高能正电子入射到各种物质表面后，出射正电子的能量约 1eV 的几率为 10^{-7} 。随后的研究采用单晶铜作靶，并在 10^{-10}Torr 的高真空中进行实验，使得产生慢正电子的效率达 6×10^{-3} 。慢正电子束的能量宽度约 0.2—0.5eV，束流强度的典型值为 $10^4\text{--}10^6\text{e}^+/\text{s}$ 。

用慢正电子在真空中形成 Ps 的技术是 1974 年由 Canter 等^[7]发现的。当能量为几 eV 至几百 eV 的正电子入射到各种表面(如 Au, Ti, Cu 等)上时，有高达 80% 的入射正电子可以形成 Ps。这一发现大大推进了 Ps 物理学的研究，如 $n = 2$ 的 Ps 的发现，激发态 Ps 精细结构的测量以及在真空中精确测量三重态 Ps 的衰变率 $\lambda(1^3S_1)$ 等。

4. Ps 探测技术

大多数探测 Ps 的技术都是在五十年代建立的，随后又不断得到发展和完善。与自由正电子的湮没不同，三重态 Ps 能进行特征的 3γ 衰变，有一个相当长的自湮没寿命，而且湮没光

子的能谱是连续的。因此，通常是通过探测三重态 Ps 的形成来探测 Ps。常用技术有以下几种：

(1) 测量 3γ 与 2γ 产额之比

由计算知，当正电子自由湮没时， 3γ 与 2γ 产额之比为 $1/372$ 。然而若有一部分正电子形成了 Ps，则由于三重态 Ps 与单态 Ps 的状态数之比为 $3:1$ ，而三重态 Ps 衰变为 3γ ，因此在有 Ps 形成时测得的 3γ 与 2γ 产额之比必大于 $1/372$ 。

(2) 测量正电子湮没寿命

在凝聚态物质中，正电子寿命通常为几百 Ps。若有 Ps 形成，三重态 Ps 的自湮没寿命长达 140 ns ，与前者相差数百倍。故可用测量寿命谱的方法来探测 Ps 形成。

(3) 测量湮没光子的能谱

在 2γ 衰变中，湮没光子的能量几乎是单能的 ($E_\gamma = mc^2 = 511 \text{ keV}$)。若有 Ps 形成，三重态 Ps 的 3γ 衰变能谱是连续的 (E_γ 在 0 — 511 keV 之间)。故可用 NaI 或半导体探测器来测量 511 keV 的光电峰与谷区计数之比，并与几乎没有 Ps 形成的标准样品(如金属铝)中的纯 2γ 湮没能谱进行比较。

此外，还可用角关联技术来探测 Ps 形成，在此不再赘述。

三、Ps 的实验研究

1. 基态超精细结构

如前所述，基态 Ps 分裂为单态和三重态，其能级间隔 W 对应的频率 $\Delta\nu = W/h$ 。最近，由 Caswell 等^[8]用相对论二体束缚态公式得到了 $\Delta\nu$ 的最新理论值：

$$\Delta\nu_{\text{理论}} = \alpha^2 C R_\infty \left[\frac{7}{6} - \frac{\alpha}{\pi} \left(\frac{16}{9} + \ln 2 \right) + \frac{5}{12} \alpha^2 \ln \alpha^{-1} + \dots \right], \quad (9)$$

其值为 $\Delta\nu_{\text{理论}} = 203,400 \text{ MHz}$ 。式中常数 α 的精度为 0.22 ppm ，故允许将实验和理论进行精确比较。因此，测量基态 Ps 的超精细结构将

是对量子电动力学理论的严格检验。

早在 1952 年，Deutsch 就首次测量了 $\Delta\nu$ ，精度为 1500 ppm 。目前最精确的 $\Delta\nu$ 实验值是分别由 Mills 等^[9]和 Egan 等^[10]测得的。所用实验技术大体相同。从 ^{22}Na 放射源发出的正电子进入气体(如 N_2 或 SF_6)并形成 Ps。由于直接激发 203 GHz 的超精细跃迁所需的微波功率太大，目前在技术上还难以实现。故通常是在 Ps 形成区加一约 8 kG 的磁场，基态 Ps 在磁场中呈现非线性塞曼效应。磁场对 $m = \pm 1$ 的三重态没有影响，但将 $m = 0$ 的三重态和单态混合。这一混合使三重态 Ps 的衰变寿命大大缩短，并使两光子湮没事件大大增加。

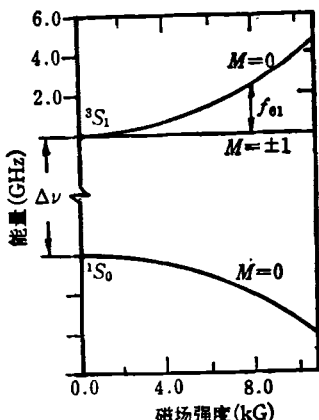


图 2 基态 Ps 在磁场中的能级

图 2 示出了基态 Ps 在磁场中的能级。图中 f_{01} 为相应磁场下 $m = \pm 1$ 和 $m = 0$ 三重态间的塞曼跃迁频率，其值约 2 GHz 。故实验中只需用 2 GHz 的射频场来激发。实际上，通常保持微波频率不变，在约 8 kG 附近精密调整磁场强度，并测量 2γ 计数随磁场强度的变化。因为当发生塞曼跃迁共振时， 3γ 计数大大减少，而 2γ 计数大大增加。塞曼跃迁频率 f_{01} 与精细结构劈裂 $\Delta\nu$ 的关系可由下列式子得到^[11]：

$$f_{01} = \frac{1}{2} [(1 + x^2)^{1/2} - 1] \Delta\nu, \quad (10)$$

式中

$$x = 2g' \mu_B B / h \Delta\nu, \quad (11)$$

$$g' = g \left(1 - \frac{5}{24} \alpha^2\right), \quad (12)$$

(11)式中的 μ_B 是玻尔磁子, B 为共振时的磁场强度。这样测得的 $\Delta\nu$ 值为

$$\Delta\nu_{\text{实验}} = 203.3870(16)\text{GHz}$$

(Mills 等, 1975);

$$\Delta\nu_{\text{实验}} = 203.3849(12)\text{GHz}$$

(Egan 等, 1977)。

上述实验结果可与理论在 5ppm 水平上进行比较。由于组成 Ps 粒子的低质量, 仅反冲项对 $\Delta\nu$ 的贡献就达 2000ppm, 故实验能精确地验证理论。

2. 衰变模式和衰变率

由电荷共轭不变推导出的湮没选择定则可知, 单态 Ps 衰变为偶数个光子, 而三重态 Ps 却衰变为奇数个光子。曾有两个实验分别研究了 C 字称禁戒的衰变: $1^1S_0 \rightarrow 3\gamma$ 和 $1^3S_1 \rightarrow 4\gamma$ 。结果为: $\lambda_{3\gamma}(1^1S_0)/\lambda_{2\gamma}(1^1S_0) < 2.8 \times 10^{-6}$ 和 $\lambda_{4\gamma}(1^3S_1)/\lambda_{3\gamma}(1^3S_1) < 8 \times 10^{-6}$ 。从而建立了上述衰变中 C 字称不守恒的上限。

1^1S_0 态 Ps 的 2γ 衰变率在引入辐射修正后的理论值是由 Harris 和 Brown^[12] 最先算出的:

$$\begin{aligned} \lambda_{2\gamma}(\text{理论}) &= \frac{1}{2} \alpha^5 \frac{mc^2}{\hbar} \left[1 - \frac{\alpha}{\pi} \left(5 - \frac{\pi^2}{4} \right) \right] \\ &= 7.9852 \text{ns}^{-1}. \end{aligned} \quad (13)$$

相应的寿命仅 125ps, 很难直接测量。1967 年, 在研究基态 Ps 的超精细结构时曾用间接方法测出 $\lambda_{2\gamma}$ (实验) = $7.99 \pm 0.11 \text{ns}^{-1}$ 。尽管与理论值相符, 但 1.4% 的实验误差不足以检验 0.6% 的辐射修正项。最近, Gidley 等^[13] 使用磁猝灭技术, 得到

$$\lambda_{2\gamma}(\text{实验}) = 7.994 \pm 0.011 \text{ns}^{-1},$$

从而可以在 0.15% 的水平上检验量子电动力学理论。

1^3S_1 态 Ps 3γ 衰变率的实验测量也是 Ps 物理学中最活跃的研究课题之一。三光子衰变率的最新理论值^[8] 是

$$\lambda_{3\gamma}(\text{理论}) = \frac{2(\pi^2 - 9)}{9\pi} \frac{\alpha^6 mc^2}{\hbar} \left[1 - \frac{\alpha}{\pi} \right.$$

$$\left. \times (10.266 \pm 0.011) - \frac{\alpha^2}{3} \ln \alpha^{-1} \right] \\ = 7.0386 \pm 0.0002 \text{ns}^{-1}. \quad (14)$$

Ps 形成的介质分别为气体、 SiO_2 粉末和真空 (即用慢正电子束)。根据 Ps 形成的介质的不同, 目前已完成了三种类型的实验, 结果如下^[14]:

$$\text{气体: } \lambda_{3\gamma} \text{ (实验)} = (7.056 \pm 0.007) \text{ns}^{-1}.$$

$$\text{粉末: } \lambda_{3\gamma} \text{ (实验)} = (7.067 \pm 0.021) \text{ns}^{-1}.$$

$$\text{真空: } \lambda_{3\gamma} \text{ (实验)} = (7.050 \pm 0.013) \text{ns}^{-1}.$$

可见目前最精确的实验值是彼此相符的, 但却比理论值约大 1—2.5 个标准偏差。在气体和真空中的改进实验正在进行中, 可望达到 200 ppm 的实验误差水平。

3. 1^3S_1 态 Ps 的 3γ 衰变能谱测量

三重态 Ps 的 3γ 衰变能谱如 (6) 式所示。仅在五十年代对上述公式作过定性的实验研究。最近, 作者等利用在气凝胶中形成 Ps 的技术和联合谱仪方法, 用具有高分辨本领的高纯锗 γ 谱仪直接定量测量了 1^3S_1 态 Ps 的 3γ 衰变连续能谱^[13, 14]。图 3 示出了 300—510 keV 能区的实验结果。在实验误差范围内, 测量值与量子电动力学的计算一致。

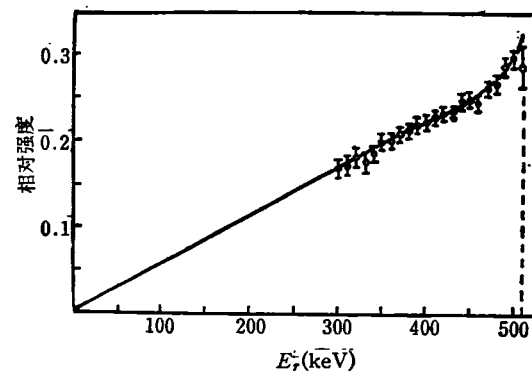


图 3 1^3S_1 态 Ps 的 3γ 衰变能谱测量结果

4. 激发态 ($n = 2$) Ps 的研究

早在 1954 年, 人们就试图研究激发态 Ps。直到 1975 年, Canter 等^[15] 才首次成功地观察到 Ps 的 Lyman- α 辐射 (2430\AA)。随后不久, 他们又成功地测量了 $n = 2$ 时 Ps 的精细结构 $\Delta\nu(2^3S_1 - 2^3P_2)$ 。选择 $2^3S_1 - 2^3P_2$ 是因为

这一劈裂处于普通微波频率范围内。实验中将30eV的正电子射入到微波腔内，打在铜制后表面上并形成Ps。激发态 $n = 2$ 时 Ps 的形成效率约 0.1%。各 2P 态到 1^3S_1 态的跃迁发射 Lyman- α 光子，这一过程的寿命约 3ns，而 2^3S_1 态的 3γ 衰变寿命为 $1.1\mu s$ 。与前者相比，可看成无限长。当微波诱发 2^3S_1 — 2^3P_1 跃迁时，可探测到 Lyman- α 光子计数增加。这样测得的跃迁频率为^[16]

$$\Delta\nu_{\text{实验}}(2^3S_1 - 2^3P_1) = 8631 \pm 6 \text{MHz}$$

相应的理论值为^[17]

$$\Delta\nu_{\text{理论}}(2^3S_1 - 2^3P_1) = \frac{23}{480} \alpha^2 c R_\infty$$

$$\times (1 + 3.766\alpha + \dots) = 8625.14 \text{MHz}, \quad (15)$$

其中辐射修正项的贡献为 291MHz。故实验可在 2% 的水平上检验理论。

此外，Mills 等^[18] 最近用聚束的高强度慢正电子束和高功率的可调染料激光器等技术，成功地实现了 1^3S_1 — 2^3S_1 态的光激发，从而使激发态 Ps 的研究达到了一个新水平。

5. 与 Ps 有关的其它研究领域

近年来，除了用 Ps 检验量子电动力学的基本理论外，在弱相互作用、天体物理及表面物理等领域有关 Ps 的研究也十分活跃。

众所周知，高精度测量正电子的极化和螺旋性对弱相互作用的研究十分重要。如果 β 衰变中正电子极化的测量精度能达到 10^{-3} ，那末若干弱相互作用对基本 V-A 公式的修正就可以验证。利用 Ps 在磁场中的塞曼效应发展出来的正电子极化仪，目前的测量精度已达 10^{-2} 。

轴子是一种很轻 ($m_a^2 = 250 \pm 25 \text{keV}$) 的中性赝标玻色子。虽已做过一些极灵敏的实验，但至今仍未观察到。然而轴子可在 Ps(1^3S_1) $\rightarrow \gamma + a$ 中产生。其中单光子能量 $E_\gamma = m_e \times [1 - (m_a/2m_e)^2]$ ，且 1^3S_1 态 Ps 衰变为轴子和 3γ 的分枝比 $\sim 3 \times 10^{-8}$ ，这在实验上是可能探测到的。利用 Ps 寻找轴子的实验正在进行中。

近年来在天体物理学研究中曾观测到从银河系中发出的、能量为 $(510.7 \pm 0.5)\text{keV}$ 的 γ 射线，还观察到 0.5MeV 以下的连续 γ 谱，这些均与 Ps 的湮没无关。1979 年，9 个卫星曾同时接收到起源于中子星的能量为 0.38 MeV 的 γ 爆，这被认为是正电子和 Ps 湮没产生的 0.511 MeV γ 线的引力红移所致。通过测量，可得知形成 Ps 的介质温度 ($< 10\text{K}$) 和电离度 ($\sim 75\%$)。

此外，还可用 Ps 研究生物分子旋光性的起源，探测固体表面电子态和缺陷结构。Ps 化学已发展成为放射化学的一个专门分支。可以预期，随着慢正电子束和 Ps 源强的增加，Ps 物理学将在基础研究和应用方面都取得更大的进展。

参 考 文 献

- [1] M. Deutsch, *Phys. Rev.*, **82**(1951), 455; **83**(1951), 866.
- [2] C. D. Anderson, *Phys. Rev.*, **43**(1933), 491.
- [3] J. Pirenne, *Arch. Sci. Phys. Nat.*, **28**(1946), 233; **29**(1947), 121, 207, 265.
- [4] C. N. Yang, *Phys. Rev.*, **77**(1949), 242.
- [5] A. Ore et al., *Phys. Rev.*, **75**(1949), 1696.
- [6] R. Paulin et al., *J. Phys.*, (Paris), **29**(1968), 263.
- [7] K. F. Canter et al., *Phys. Rev. Lett.*, **33**(1974), 7.
- [8] W. E. Caswell et al., *Phys. Rev. A*, **20**(1979), 36.
- [9] A. P. Mills et al., *Phys. Rev. Lett.*, **34**(1975), 246.
- [10] P. O. Egan et al., *Phys. Rev. A*, **15**(1977), 251.
- [11] D. W. Gidley et al., Proc. 6th Int. Conf. Positron Annihilation, U. S. A., (1982), 11.
- [12] L. Harris et al., *Phys. Rev.*, **105**(1957), 1656.
- [13] 王少阶、张天保、王蕴玉，武汉大学学报，2(1983)，39。
- [14] 张天保、王少阶、李跃清、唐孝威，物理学报，**32**(1983)，670。
- [15] K. F. Canter et al., *Phys. Rev. Lett.*, **34**(1975), 177.
- [16] A. P. Mills et al., *Phys. Rev. Lett.*, **34**(1975), 1541.
- [17] S. Berko et al., Proc. 5th Int. Conf. Positron Annihilation, Japan, (1979).
- [18] S. Chu et al., Proc. 6th Int. Conf. Positron Annihilation, U. S. A., (1982), 21.